

II-74 急速ろ過における硝化のシミュレーション

八戸工業大学 学生員 ○太田淳也

正員 佐藤米司、福士憲一

1. はじめに

淨水を目的とした、砂ろ過等の固定層における低濃度領域での生物膜モデルを考えて、硝化を例題としてシミュレーションを試みたので報告する。

2. 低濃度領域の生物膜モデル^{1, 2, 3)}

図-1のモデルを考えると、任意の時間及び固定層の任意の深さについて次の各式が成立する。

$$J = -D_b \frac{dS}{dz} = \frac{D_b}{L_d} (S - S_s) \quad (1)$$

$$D_f \frac{d^2 S_f}{dz^2} = \frac{k \cdot X_f \cdot S_f}{K_s + S_f} \quad (2)$$

$$S = S_s \quad \text{at } z=0 \quad (3)$$

$$\frac{dS_f}{dz} = 0 \quad \text{at } z=L_f \quad (4)$$

仮定1：低濃度領域($S \ll K_s$)なので、(2)式は(2')式となり、フラックスは(5)式で表現される。

$$D_f \frac{d^2 S_f}{dz^2} = \frac{k \cdot X_f \cdot S_f}{K_s} \quad (2')$$

$$J = K_f \cdot S \quad (5)$$

$$K_f = \frac{D_b D_f \phi \tanh(\phi L_f)}{D_b + L_d D_f \phi \tanh(\phi L_f)} \quad (6)$$

$$\phi = (k \cdot X_f / K_s / D_f)^{1/2} \quad (7)$$

仮定2：さらに、境膜拡散抵抗が無視でき(L_d が極めて小)、かつ、生物膜厚が薄い(L_f が小)ので、フラックスと基質濃度の関係は(8)式で表現される。

$$J = \frac{k \cdot X_f \cdot L_f}{K_s} S \quad (8)$$

ここで、仮定1の妥当性は、一般式((1)～(4)式)の精密な近似解を図示した結果(図-2)より明かである。仮定2の妥当性は、図-2で低濃度かつ生物膜厚が大なほど、境膜抵抗のフラックスへの影響が大きい。しかし、境膜抵抗が卓越する小流速時には J^* と L_f^* は小さく境膜抵抗は無視できる。

なお、図-2で用いた無次元数は次の通りである。

$$S^* = S/K_s, \quad L_f^* = \phi L_f, \quad L_d^* = \phi L_d D_f, \quad (9)$$

$$D_f^* = D_f/D_b, \quad J^* = J / (\phi D_f K_s)$$

3. 生物膜の消長

(10)式に示す、増殖、死滅、流れによるせん断、増殖に伴う剥離⁴⁾の各項から成る式で考える。

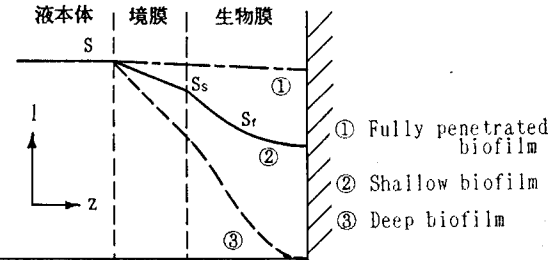
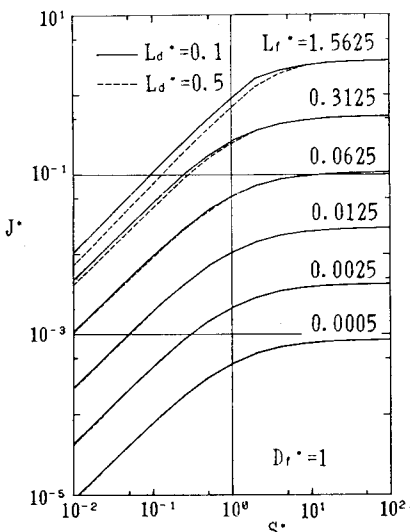


図-1 生物膜モデル

図-2 基質濃度とフラックスの関係
(文献2)より計算、(1)～(4)式の近似解)

a = Specific surface area of bed (cm^{-1})

b = Specific deacay coefficient (day^{-1})

D_b = Molecular diffusivity in the bulk liquid (cm^2/day)

D_f = Molecular diffusivity within biofilm (cm^2/day)

D_h = Hydrodynamic diffusivity (cm^2/day)

J = Substrate flux ($\text{mg}/\text{cm}^2/\text{day}$)

k = Maximum specific rate of utilization ($\text{mg}_s/\text{mg}_x/\text{day}$)

K_s = Monod half-velocity coefficient (mg_s/cm^3)

l = Distance from the inlet (cm)

L = Bed depth (cm)

L_d = Thickness of effective diffusion layer (cm)

L_f = Thickness of biofilm (cm)

$$X_f \frac{dL_f}{dt} = Y f \frac{k X_f S_f}{K_s + S_f} dz - b X_f L_f - b_s X_f L_f - b_0 Y f \frac{k X_f S_f}{K_s + S_f} dz \quad (10)$$

第1項と第4項の積分は、フラックスJのことであるから、

$$X_f \frac{dL_f}{dt} = Y' J - b' X_f L_f \quad (11)$$

$$Y' = Y(1 - b_0); \text{ グロスの付着係数} \quad (12)$$

$$b' = b + b_s; \text{ グロスの剥離係数} \quad (13)$$

ここで、 b' については、流速が極めて大きくなつて、せん断が最大に達し、バルク基質濃度が流入のそれと等しくなり($S = S_0$)、生物膜がそれ以上増殖も剥離もしない状態が考えられ、その時 $b' = b'_{\max}$ となる。

$$b'_{\max} = \frac{Y' k S_0}{K_s} \quad (14)$$

ゆえに、 b' は次式のように、(14)式の b'_{\max} を最大値とする流速 v に関する飽和関数により表現される。

$$b' = b + \frac{(b'_{\max} - b)v}{K_v + v} \quad (15)$$

K_v : 定数(せん断に関する half-velocity)

なお、生物膜の変化は極めて遅く、(11)式は微小時間 Δt に関して次のように近似できる。²⁾

$$\Delta(X_f L_f) = (Y' J - b' X_f L_f) \cdot \Delta t \quad (16)$$

4. 固定層への適用

1次元流れモデルで、固定層の任意の深さで上述の生物膜モデルが成り立つとする。拡散項、移流項、フラックスによる反応項、浮遊生物による反応項から成る基礎式、および境界条件の式は、次のようになる。

$$\frac{\partial S}{\partial t} = D_h \frac{\partial^2 S}{\partial l^2} - v \frac{\partial S}{\partial l} - a \cdot J - \frac{e k X_e S}{K_s + S} \quad (17)$$

$$v \cdot S_0 = v \cdot S - D_h \frac{\partial S}{\partial l} \quad \text{at } l=0 \quad (18)$$

$$\frac{\partial S}{\partial l} = 0 \quad \text{at } l=L \quad (19)$$

5. 計算と実験の対比

以上より、(17)式を境界条件のもとに解けばよいが、式中の J (8式)に関係する L_f は時間及び場所の関数となる。そこで、(16)式の関係を利用し、 Δt 前の S 、 L_f を用いて次段のそれらを計算した。(詳細は略すが差分による数値計算) Inputは生物反応の動力学定数(k 、 K_s 等)、生物膜に関する定数(X_f 、初期 L_f)、固定層と流れの条件(v 、 L 、 e 等)、および流入基質濃度 S_0 であり、Outputは任意時間・場所におけるフラックスJ、膜厚 L_f 、バルク濃度Sである。なお、 L_d 、 D_h は式^{5, 6)}を用いて計算した。なお、パラメータのうちで主として検討を加えたのは、 Y' および b' (K_v)である。

図-3が、計算および実験結果の一部である。ほぼ満足できる結果となっている。しかし、条件を変えた場合や、他の非定常過程の解析など課題が多く、現在も検討・実験中である。

<参考文献> 1)Rittmann, et. al.; J. ASCE, EE4, 831(1981). 2)Rittmann, et. al.; J. WPCF, 56, 874(1984)

3)Gantzer, et. al.; Wat. Res., 22, 191(1988). 4)Speitel, et. al.; J. ASCE, EE3, 464(1987). 5)Rittmann, et. al.; Biotech. Bioeng., 22, 2358(1980). 6)Bear; Dynamics of Fluids in Porous Media(Elsevier, 1972)

S =Substrate conc. in the bulk liquid (mg_s/cm^3)

S_0 =Substrate conc. of the influent (mg_s/cm^3)

S_r =Substrate conc. within the biofilm (mg_s/cm^3)

S_s =Substrate conc. at the liq./film interface (mg_s/cm^3)

t =time (day)

v =Superficial flow velocity (cm/day)

X_e =Bacterial density in the pores of bed (mg_x/cm^3)

X_f =Bacterial density in biofilm (mg_x/cm^3)

Y =True yield (mg_x/mg_s)

z =Distance normal to the biofilm surface (cm)

e =Bed porosity (-)

Subscripts; s =Substrate, x =Biomass

0 0.5 1.0
NH₄-N (mg/l)
砂層深 (cm)
36
72

図-3 計算と実験の比較 ($v=100\text{m}/\text{day}$)

$K_s=0.5\text{mg}_s/\text{l}$, $k=1.5\text{mg}_s/\text{mg}_x/\text{day}$, $X_f=10\text{mg}_x/\text{cm}^3$,

$Y'=0.236\text{mg}_x/\text{mg}_s$, $b'=0.015\text{day}^{-1}$, $X_e=0$,

$D_h=0.0772\text{cm}$, $e=0.43$, $a=63.3\text{cm}^{-1}$, $D_b=651\text{cm}^2/\text{day}$,

$D_b=1.5\text{cm}^2/\text{day}$, $D_f=1.0\text{cm}^2/\text{day}$, 20°C .